

01;05

©1993 г.

РАСПРЕДЕЛЕНИЕ ТОКА В ПОПЕРЕЧНОМ СЕЧЕНИИ И ПОГОННОЕ СОПРОТИВЛЕНИЕ СВЕРХПРОВОДЯЩЕЙ МИКРОПОЛОСКОВОЙ ЛИНИИ

О.Г.Вендик, А.Ю.Попов

Получены простые модельные формулы для расчета распределения тока в поперечном сечении полосковой линии из тонкой сверхпроводящей пленки, а также для ее погонного сопротивления. Демонстрируется хорошее количественное соответствие расчета по предложенным формулам и точного машинного расчета. Определены условия, при которых распределение тока в поперечном сечении полосковой линии можно считать равномерным. Обсуждается применение полученных соотношений в системах автоматического проектирования (САПР) СВЧ элементов и в исследованиях, связанных с измерением поверхностного импеданса сверхпроводящих пленок.

Введение

Распределение тока в поперечном сечении тонкой сверхпроводящей пленки впервые рассмотрено более 30 лет назад. Вначале оно изучалось применительно к проблеме критического тока тонкой широкой пленки [1-3], затем в связи с расчетом кинетической индуктивности и сил пиннинга [4,5]. В последнее время интерес к проблемам, связанным со сверхпроводящими пленками, возрос в связи с практическим использованием высокотемпературной сверхпроводимости (ВТСП). Численные компьютерные расчеты [6,7] дают надежные результаты применительно к распределению тока и погонному сопротивлению ВТСП пленок. Однако аналитическое описание распределения тока в поперечном сечении также представляет интерес в связи с разработкой простого математического обеспечения САПР СВЧ интегральных схем, использующих ВТСП пленки, исследованием кинетики разрушения сверхпроводящего состояния в широкой тонкой сверхпроводящей пленке [8], дисперсии весьма коротких импульсов, распространяющихся в цепях межсоединений в сверхскоростных БИС [9].

Интегральное уравнение

На рис. 1, а показано поперечное сечение сверхпроводящей пленки, однородной и неограниченной вдоль оси z . Проекция вектора магнитного поля на ось y может быть представлена в следующем виде [1,3,10]:

$$H_y(x, y) = \frac{1}{2\pi} \int_{-d/2}^{d/2} \int_{-w/2}^{w/2} \frac{j_{vol}(\xi, \eta)(x - \xi)}{(x - \xi)^2 + (y - \eta)^2} d\xi d\eta, \quad (1)$$

где j_{vol} — объемная плотность тока.

Введем поверхностную плотность тока

$$j_{sur}(\xi) = \int_{-d/2}^{d/2} j_{vol}(\xi, \eta) d\eta. \quad (2)$$

Используем уравнение Лондонов в виде

$$j_{vol} = -(1/\lambda_L^2) \mathbf{A},$$

где λ_L — лондоновская глубина проникновения.

Положим, что $d < \lambda_L$. Тогда с учетом (2) получим

$$j_{sur} = -(d/\lambda_L^2) A_z.$$

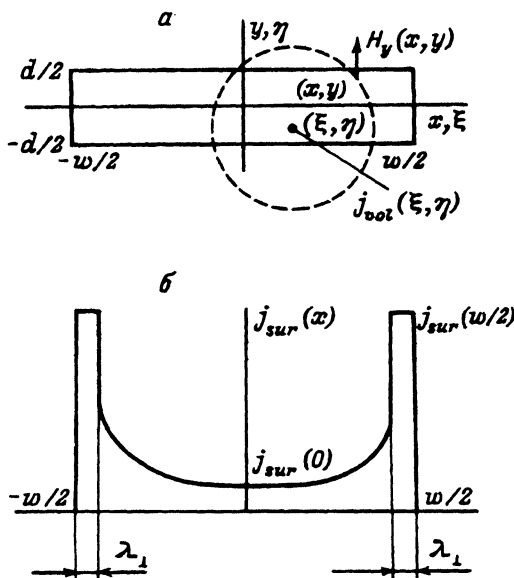


Рис. 1. Поперечное сечение сверхпроводящей пленки.

а — координаты, соответствующие формуле (1);

б — модельное представление распределения тока на поперечном сечении пленки.

Учтем также, что $H_y = -\partial A_z / \partial x$ и преобразуем (1) в следующее интегральное уравнение:

$$\frac{\partial j_{sur}(x)}{\partial x} = \frac{d}{2\pi\lambda_L^2} \int_{-w/2}^{w/2} \frac{j_{sur}(\xi)(x-\xi)}{(x-\xi)^2 + \Delta^2} d\xi, \quad (3)$$

в котором интегрирование по η заменено переходом от объемной плотности тока к поверхностной, а также проведена замена члена $(y-\eta)^2$ на Δ^2 . При этом должны выполняться условия $d \ll \lambda_L < \Delta \ll w$. Параметр Δ в физическом смысле отражает наличие конечной толщины пленки. Математически при переходе к одномерной задаче он приобретает смысл собственного числа уравнения. Известно [1,10], что, используя преобразование Гильберта, после некоторых упрощений можно получить приближенное решение уравнения (3)

$$j_{sur}(x) = \frac{2}{\pi} \frac{I}{w} [1 - (2x/w)^2]^{-1/2}, \quad (4)$$

а также

$$\Delta = \frac{2\lambda_L^2}{d}, \quad (5)$$

где I — полный ток, текущий вдоль пленки.

Плотность тока на краях пленки

Полученное решение (4) не отвечает на главный вопрос задачи — какова плотность тока на краях пленки. Действительно, при $|x| \rightarrow w/2$ выражение расходится, хотя интеграл от него имеет конечную величину и равняется полному току. Расходимость является следствием сделанных приближений. Точное решение аналитически получить не удастся. Имеется несколько подходов, позволяющих получить обоснованное значение поверхностной плотности тока на краю пленки [1-5,10]. В настоящей работе мы предлагаем следующее описание поверхностной плотности тока в поперечном сечении пленки:

$$j_{sur}(x) = \frac{I}{w} \frac{2}{\pi} \begin{cases} (w/\lambda_\perp)^{1/2}, & w/2 - \lambda_\perp < x \leq w/2, \\ [1 - (2x/w)^2]^{1/2}, & |x| < w/2 - \lambda_\perp, \\ (w/\lambda_\perp)^{1/2}, & -w/2 < x < -(w/2 - \lambda_\perp). \end{cases} \quad (6)$$

Нетрудно убедиться, что при выполнении условия $\lambda_\perp \ll w$ обеспечивается равенство¹

$$\int_{-w/2}^{w/2} j_{sur}(x) dx = I.$$

¹ Выполняя интегрирование, следует учесть, что при $x \ll I$: $\arcsin(1-x) \cong \pi/2 - \sqrt{2x}$.

Рис. 1,6 иллюстрирует распределение тока, описываемое соотношением (6). В принятом распределении тока принципиальное значение имеет выбор величины λ_{\perp} . Учтем, что характерный размер задачи Δ был получен в результате решения интегрального уравнения. Поэтому положим $\lambda_{\perp} = \Delta$, это приводит к следующему определению:

$$\lambda_{\perp} = 2\lambda_L^2/d. \quad (7)$$

Запишем плотность тока на краях пленки в виде

$$j_{sur}(w/2) = I\kappa(w\lambda_{\perp})^{-1/2}.$$

Различные модели распределения тока в поперечном сечении приводят к различным значениям κ . Сравним их. В нашем случае, как следует из (6), $\kappa = 2/\pi = 0.637$. В модели Родерика-Уилсона² [1-3,10] $\kappa = (1/\pi)(2\epsilon)^{1/2} = 0.742$ и в модели Ларкина-Овчинникова $\kappa = (\pi)^{-1/2} = 0.564$.

Недавно Д.М.Шин с соавторами [6] нашел распределение тока в сверхпроводящей линии на основе численных расчетов, используя представление полосковой линии в виде N связанных между собой линий передачи. Численные результаты в [6] получены для объемной плотности тока.

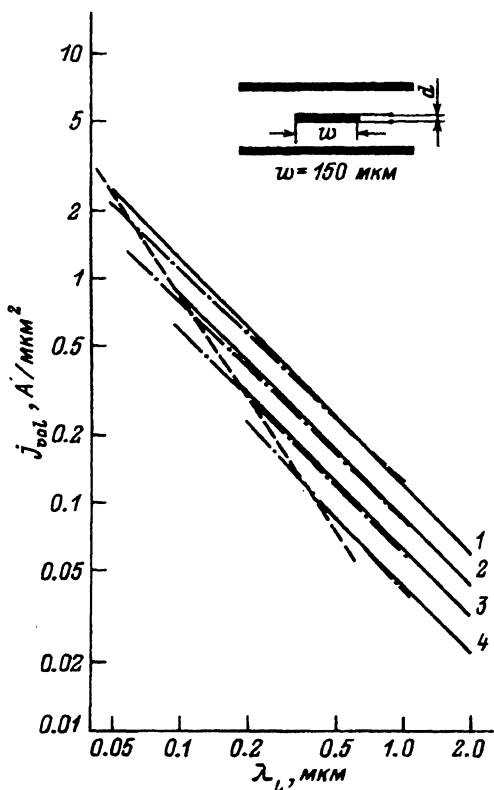


Рис. 2. Зависимость объемной плотности тока на краях пленки от глубины проникновения для различных толщин пленки $d = 0.1$ (1), 0.2 (2), 0.3 (3), 0.4 (4) мкм. Сопоставление модельного и точного численного расчета.

² В оригинальной работе [1] $\lambda_{\perp} = \lambda_L^2/d$; представленная здесь величина κ рассчитана по модели Родерика-Уилсона, но для $\lambda_{\perp} = 2\lambda_L^2/d$.

Чтобы произвести сравнение, найдем $j_{vol}(w/2)$ умножив $j_{sur}(w/2)$ на толщину пленки d . Тогда из (6) с учетом (5) получим

$$j_{vol}(w/2) = \frac{I}{\lambda_L \sqrt{wd}} \frac{\sqrt{2}}{\pi}. \quad (8)$$

На рис. 2 сплошные линии соответствуют соотношению (8) для $I = 1A$, штриховые определяют пределы применимости полученных соотношений ($d \leq 2\lambda_L$), штрихпунктир представляет результаты расчета, заимствованные из [6]. Вставка к рис. 2 показывает размеры полосковой линии, для которой были проведены расчеты в [6]. Хорошее количественное совпадение подтверждает приемлемость предложенного в настоящей работе модельного распределения тока в поперечном сечении тонкой сверхпроводящей пленки.

Рассмотренная модель получена в квазистатическом приближении (магнитостатика). Полученные результаты справедливы и на высоких частотах, если выполнено условие $\lambda_L \ll \delta_{sk}$, где δ_{sk} — скин-глубина проникновения, определяемая нормальной проводимостью, вызванной квазичастичными возбуждениями в сверхпроводнике. Для ВТСП материалов рассмотренное приближение справедливо до частот 200–500 ГГц.

Погонное сопротивление сверхпроводниковой полосковой линии

Зная распределение тока в поперечном сечении полосковой линии и поверхностное сопротивление материала пленки, из которого сделана линия, можно рассчитать погонное сопротивление линии. Легко получить следующее соотношение:

$$R_1 = R_{sur} \frac{\int_{-w/2}^{w/2} [j_{sur}(x)]^2 dx}{\left[\int_{-w/2}^{w/2} j_{sur}(x) dx \right]^2}, \quad (9)$$

где R_1 — погонное сопротивление линии, R_{sur} — поверхностное сопротивление пленки.

Подстановка (6) в (9) дает

$$R_1 = \frac{R_{sur}}{w} \frac{8}{\pi^2} \left[1 + \frac{1}{2} \ln\left(\frac{w}{\lambda_L} - 1\right) \right]. \quad (10)$$

Поверхностное сопротивление тонкой пленки ($d < \lambda_L$) определяется как [11]

$$R_{sur} = (\omega\mu_0)^2 \frac{\lambda_L^4}{d} \sigma, \quad (11)$$

где σ — проводимость, связанная с квазичастичными возбуждениями при $T < T_c$ и проводящими включениями, ответственными за остаточное сопротивление.

Рис. 3 иллюстрирует результат расчета по формулам (10) и (11) для частоты 1 ГГц при $\sigma = 10^6 (\text{Ом} \cdot \text{м})^{-1}$. Сравнение с численными расчетами [6] для той же частоты и нормальной проводимости показывают хорошее совпадение с расчетом по формулам (10), (11).

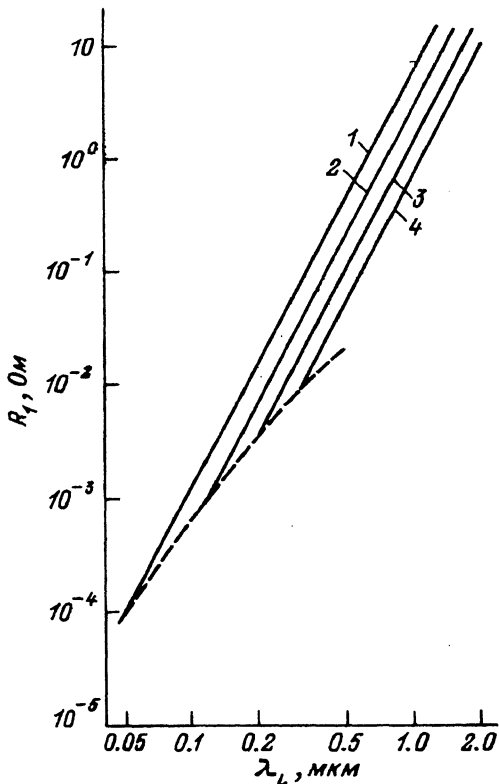


Рис. 3. Зависимость погонного сопротивления полосковой линии от глубины проникновения для различных толщин пленки.

Обозначения те же, что и на рис. 2. Различие результатов модельного и точного численного расчета не выходит за пределы толщины линии на графиках.

Распределение тока в поперечном сечении симметричной полосковой линии, проводники которой мало удалены один от другого

Рассмотренные в предыдущих разделах задачи относились к свободной пленочной линии, которая находится в окружении удаленного экрана, несущего ток обратного направления. Расстояние до экрана превосходит все поперечные размеры линии. На рис. 4,а показан случай, когда полосковая линия образована двумя проводниками, расстояние между которыми много меньше их ширины. В этом случае для поверхностной плотности тока в нижнем проводнике получаем следующее уравнение:

$$\frac{\partial j_{sur}(x)}{\partial x} d = \frac{d}{2\pi\lambda_L^2} \int_{-w/2}^{w/2} \left[\frac{(x-\xi)j_{sur}(\xi)}{(x-\xi)^2 + \Delta^2} - \frac{(x-\xi)j_{sur}(\xi)}{(x-\xi)^2 + \Delta^2 + h^2} \right] d\xi. \quad (12)$$

При этом принято, что плотность тока в верхнем проводнике имеет такое же поперечное распределение как и в нижнем, а ток, естественно, имеет противоположное направление. Интегрирование по x дает

$$j_{sur}(x) = j_0 + \frac{d}{2\pi\lambda_L^2} \int_{-w/2}^{w/2} \ln \left[\frac{(x-\xi)^2 + \Delta^2}{(x-\xi)^2 + \Delta^2 + h^2} \right] j(\xi) d\xi, \quad (13)$$

где j_0 — постоянная интегрирования.

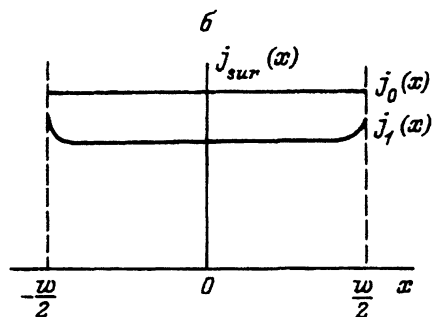
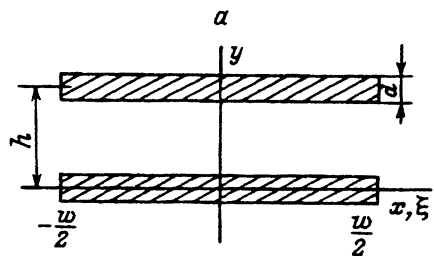


Рис. 4. Симметричная полосковая линия.
 а — поперечное сечение и система координат,
 б — распределение тока на поперечном сечении
 проводников полосковой линии в нулевом и
 первом приближении процесса итерации.

Используем процесс итерации. Примем за нулевое приближение $j_{sur}(x) = j_0$. Тогда первое приближение в безразмерных координатах

$$j_1(x') = j_0 + \frac{1}{2\pi\Delta'} \int_{-1}^1 \ln \left[\frac{(x' - \xi')^2 + \Delta'^2}{(x' - \xi')^2 + \Delta'^2 + h'^2} \right] j_0 d\xi', \quad (14)$$

где $x' = x/(w/2)$, $\Delta' = \Delta/(w/2)$, $\xi' = \xi/(w/2)$.

Функция $j_1(x')$ находится как табличный интеграл [12]. После некоторых упрощений получаем

$$\begin{aligned} j_1(0) &\cong j_0 \left(1 - \frac{h'}{\Delta'} \right) = j_0 \left(1 - \frac{dh}{2\lambda_L^2} \right), \\ j_1(1) &\cong j_0 \left(1 - \frac{h'}{2\Delta'} \right) = j_0 \left(1 - \frac{dh}{4\lambda_L^2} \right). \end{aligned} \quad (15)$$

Решение уравнения (13) в нулевом и первом приближении показаны на рис. 4, б. Соотношения (15) позволяют заключить, что ток в поперечном сечении симметричной полосковой линии можно считать однородным в поперечном сечении, если выполнено условие

$$dh \ll 2\lambda_L^2. \quad (16)$$

При выполнении обратного неравенства следует пользоваться результатами предыдущих разделов настоящей работы. Условие, выраженное неравенством (16), совпадает с известным результатом для тонкой сверхпроводящей пленки над экраном [13], задающим условия, при которых распределение тока в пленке может считаться однородным.

Получены формулы для описания распределения плотности тока в поперечном сечении тонкой сверхпроводящей пленки. Расходимость на краях пленки устранена представлением распределения тока в форме, удобной для количественных расчетов в задачах о критическом токе, кинетике разрушения сверхпроводящего состояния и в математическом обеспечении САПР СВЧ интегральных схем, в которых используются сверхпроводниковые пленки.

Распределение тока на поперечном сечении сверхпроводниковой линии передачи следует учитывать в задачах, связанных с измерением поверхностного импеданса сверхпроводящих пленок. Так, в [14] используется полосковый резонатор, в котором (в наших обозначениях) $w = 9$ мм, $h = 10 - 100$ мкм, $d = 0.5$ мкм. Очевидно, что неравенство (16) выполняется как обратное. Расчет по формуле (10) показывает, что поправка по отношению к расчету, основанному на равномерном распределении тока, составляет почти порядок, что не учитывается автором [15]. В [15] используется трехслойная структура с весьма тонким слоем диэлектрика между двумя слоями ВТСП, при этом $w = 25$ мкм, $h = t = 0.2$ мкм, при изменении температуры глубина проникновения оказывается в пределах $0.13 \leq \lambda_L \leq 1$ мкм. В этом случае неравенство (16) выполняется почти во всем интервале изменения λ_L . Поэтому результаты измерения λ_L и R_{sur} в [15] можно считать надежными, хотя при $\lambda_L \rightarrow 0.13$ мкм следовало бы провести уточнение, что может быть сделано путем более полного использования итерационного процесса, представленного в последнем разделе работы.

Настоящая работа включена в программу "Высокотемпературная сверхпроводимость" (проект № 90425). Авторы признательны Э.Кольбергу (Гетеборг), А.А.Андронову и А.Я.Басовичу (Нижний Новгород) за обсуждение постановки задачи и полученных результатов.

Список литературы

- [1] Rhoderick T.H., Wilson E.M. // Nature. 1962. Vol. 194. P. 1167-1168.
- [2] Broom R.F., Rhoderick E.H. // Proc. Phys. Soc. 1962 Vol. 79. P. 586-593.
- [3] Glover R.E., Coffey H.T. // Rev. Mod. Phys. 1964. Vol. 36. P. 299-301.
- [4] Лухарев К.К. // Изв. вузов. Радиофизика. 1971. Т. 14. С. 909-917.
- [5] Ларкин А.И., Овчинников Ю.Н. // ЖЭТФ. 1971. Т. 61. С. 1221-1229.
- [6] Sheen D.M., Ali S.M., Oates D.E. et al. // IEEE Trans. on Appl. Superconductivity. 1991. Vol. 1. P. 108-115.
- [7] El-Ghazaly S.M. // IEEE Microwave and Guided Wave Lett. 1991. Vol. 1. P. 252-254, 255-257.
- [8] High- T_c superconductors: Physical Principles of Microwave Applications / Ed. O.G. Vendik. Leningrad, 1991.
- [9] Choshal U. // IEEE Electr. Device Lett. 1989. Vol. 10. P. 373-376.
- [10] Ван Дузер Т., Тернер Ч.У. Физические основы сверхпроводниковых устройств и цепей. Пер. с англ. М.: Радио и связь, 1984. 344 с.
- [11] Klein N., Chaloupka H., Muller G. et al. // J. Appl. Phys. 1990. Vol. 67. P. 6940-6945.
- [12] Двайт Г.Б. Таблицы интегралов и другие математические формулы. М.: Наука, 1964. 228 с.

[13] *Muchowski E., Schmidt A.* // *Z. Physik.* 1972. Vol. 255. P. 187– 195.

[14] *Tabor R.C.* // *Rev. Sci. Instr.* 1990. Vol. 61. P.2200– 2206.

[15] *Pond J.M., Carroll K.R., Horwitz J.S. et al.* // *Appl. Phys. Lett.* 1991. Vol. 59. P. 3033– 3035.

Санкт-Петербургский государственный
электротехнический университет

Поступило в Редакцию
10 июля 1992 г.

